



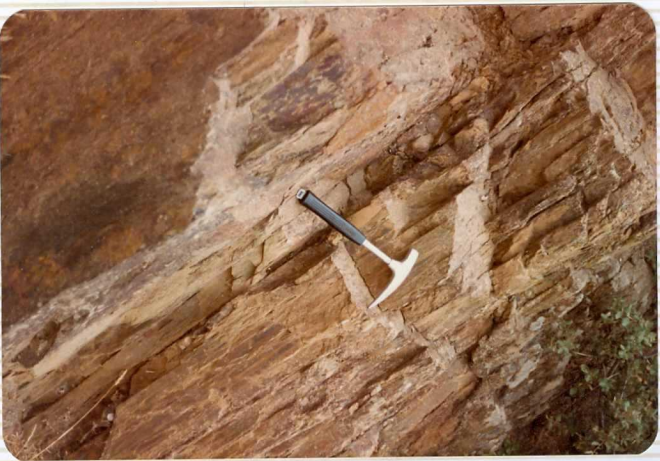
12/27-IB-VM-400.- Panorámica del Complejo Esquistoso-gruváquico con resaltos cuarzodioríticos al Suroeste de la Hoja.



12/27-IB-VM-401.- Panorámica del Complejo Esquistoso-grauváquico con resaltos cuarzodioríticos al Sureste de la Hoja.



12/27-IB-VM-402.- Panorámica del Complejo Esquistoso-grauváquico con resaltes cuarzodioríticos al Sureste de la Hoja en un plano distinto al anterior.



12/27-IB-VM-403.- Aspecto de la estratificación en el Complejo Esquisteoso-Grauváquico



12/27-IB-VM-404.- Metamorfismo de contacto en el Complejo Esquistoso-grauváquico donde se aprecia claramente la andalucita.



12/27-IB-VM-405.- Panorámica de la penillanura del Complejo Esquistoso-grauváquico tomada en las proximidades de La Cumbre.



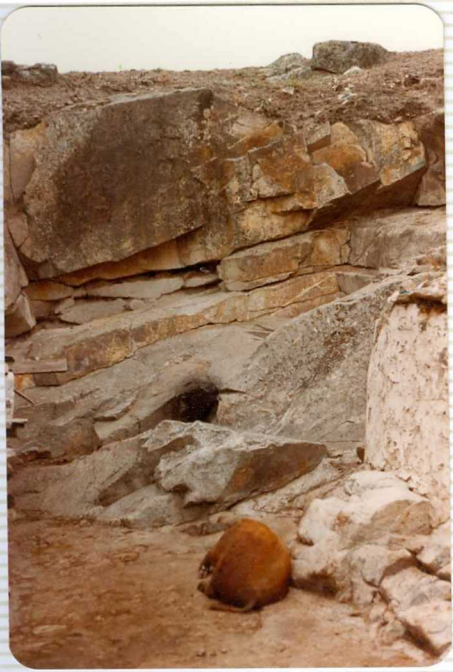
12/27-IB-VM-406.- Detalle del Granito Porfídico del Batolito de Trujillo al Suroeste de ésta misma ciudad.



— 12/27-IB-VM-407.- Aspecto más frecuente del Berrocal que forma el granito porfídico al Suroeste de Trujillo.



12/27-IB-VM-408.- Detalle del Granito aplítico del Batolito de Trujillo



12/27-IB-VM-409.- Cantera inactiva del Granito aplítico del Batolio de Trujillo

12/27-IB-VM-410.- Granito de dos micas rico en cuarzo del Batolito de Trujillo





12/27-IB-VM-411.- Granito de dos micas rico en cuarzo del Batolito de Trujillo



12/27-IB-VM-412.- Granito aplítico del Batolito de Trujillo al Norte de esta misma ciudad.



12/27-IB-VM-413.- Panorámica de Trujillo desde Huertas de Animas. El castillo se asienta sobre el granito de dos micas rico en cuarzo.



12/27-IB-VM-414.- Detalle del Granito porfídico del Batolito de Trujillo en donde se aprecian los megacristales de feldespato y de cordierita (tonos negros).



12/27-IB-VM-415.- Detalle del Granito porfídico del Batolito de Trujillo en el mismo afloramiento anterior.



12/27-IB-VM-416.- Panorámica de la Penillanura que forma el Complejo Esquisto-so-grauváquico al Oeste de Trujillo



12/27-IB-VM-417.- Granito de dos micas rico en cuarzo del Batolito de --  
Plasenzuela.



12/27-IB-VM-418.- Granito de dos micas rico en cuarzo del Batolito de --  
Plasenzuela.



12/27-IB-VM-419.- Detalle de las cuarzodioritas y/o Granodioritas de la serie calcoalcalina al Suroeste de Plasenzuela.



12/27-IB-VM-420.- Idem anterior.



12/27-IB-VM-421.- Afloramiento de Cuarzodioritas y/o granodioritas de la Serie calcoalcalina al Suroeste de Plasenzuela.



12/27-IB-VM-422.- Detalle del Granito de dos micas de grano grueso del Bato-lito de Plasenzuela.



12/27-IB-VM-423.- Idem. anterior.



12/27-IB-VM-424.- Panorámica del borde occidental del Batolito de Plasenzuela en contacto con el Complejo Esquistoso-grauváquico.



12/27-IV-VM-425.- Panorámica del Complejo Esquistoso-grauváquico tomada en las proximidades del Batolito de Plasenzuela en la zona de las micas.



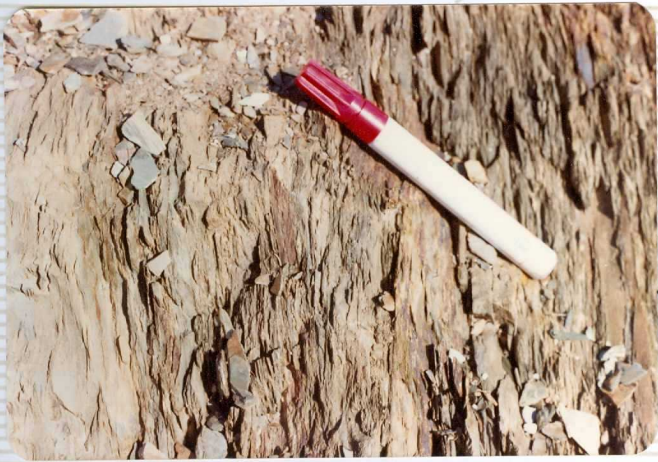
12/27-IB-VM-426.- Panorámica del Complejo Esquistoso-grauváquico en el borde occidental de la Hoja.



12/27-IB-VM-427.- Esquistosidad principal en las pizarras del Complejo Esquisto-grauváquico.



12/27-IB-VM-428.- Afloramiento pizarroso del Complejo Esquistoso-grauváquico.



12/27-IB-VM-429.- Detalle de la esquistosidad en las pizarras del Complejo Esquistoso-grauváquico.

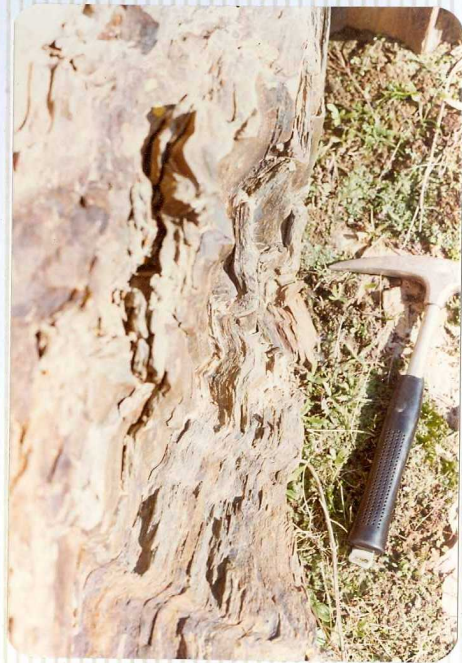


12/27-IB-VM-430.- Afloramiento de pizarras del Complejo Esquistoso-grauváquico



12/27-IB-VM-431.- Detalle de la esquistosidad en las pizarras del Complejo Esquistooso-grauváquico.

12/27-IB-VM-432.- Estratificación y esquistosidad replegadas por una fase tardía  
(kink).





12/27-IB-VM-433.- Panorámica del Complejo Esquistoso-Grauváquico en el Arroyo Gibranzos.